



The "Neutron Beta Decay" installation for the reactor PIK



Scientific supervisor: A.P. Serebrov

Responsible: A.K. Fomin

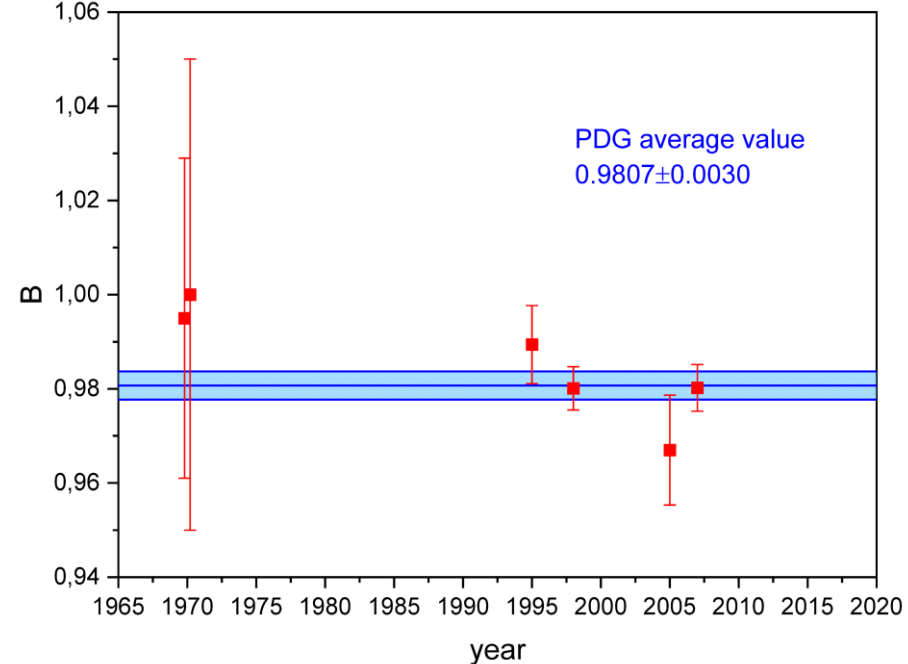
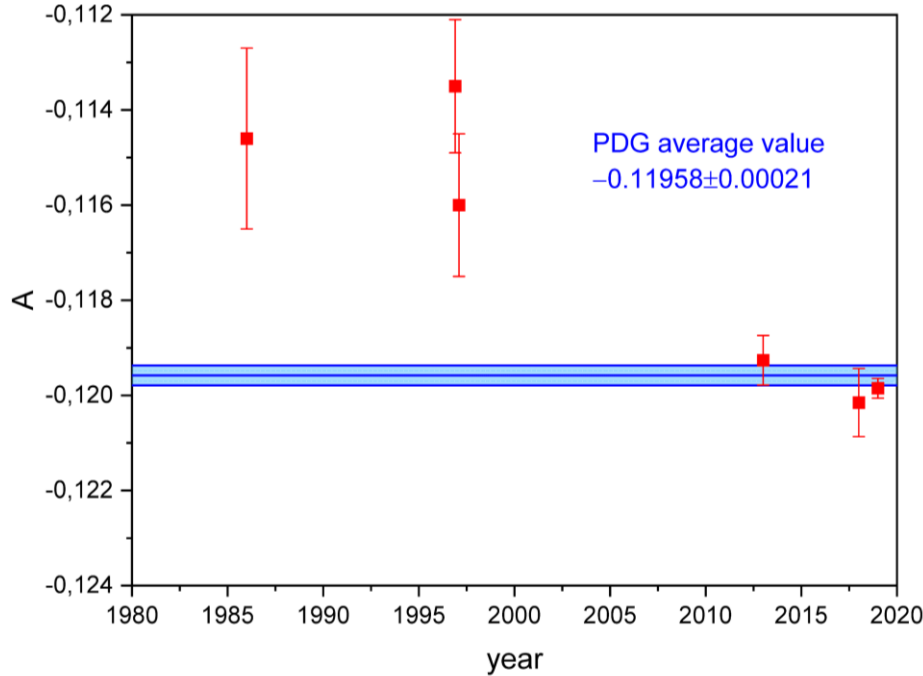
**Participants: O.M. Zherebtsov, G.N. Klyushnikov, A.O. Koptyukhov,
V.A. Lyamkin, A.N. Murashkin, D.V. Prudnikov**

NRC «Kurchatov Institute» - PNPI, Russia, Gatchina

7th International Conference on Particle Physics and Astrophysics (ICPPA-2024)
22-25 October 2024, Moscow, Russia

Motivation

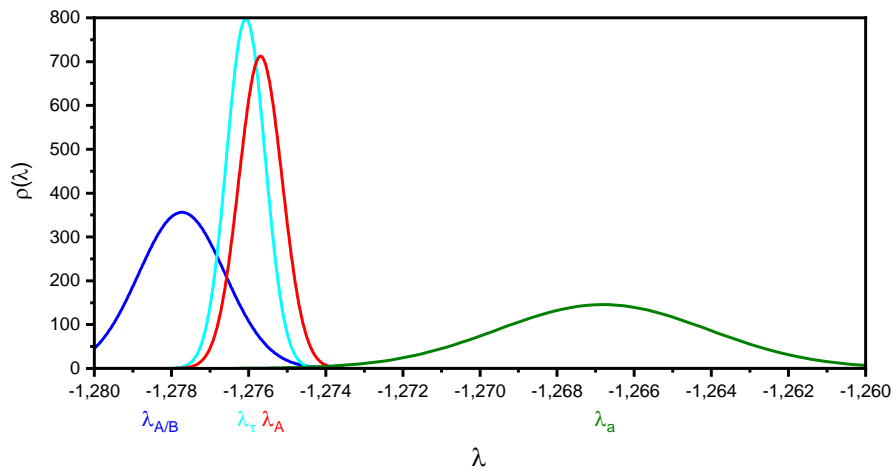
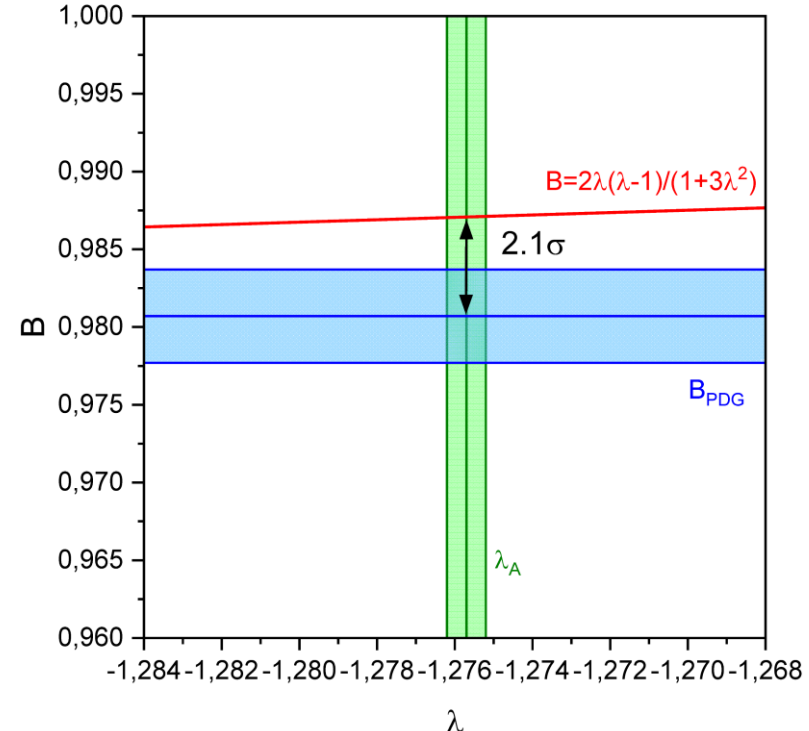
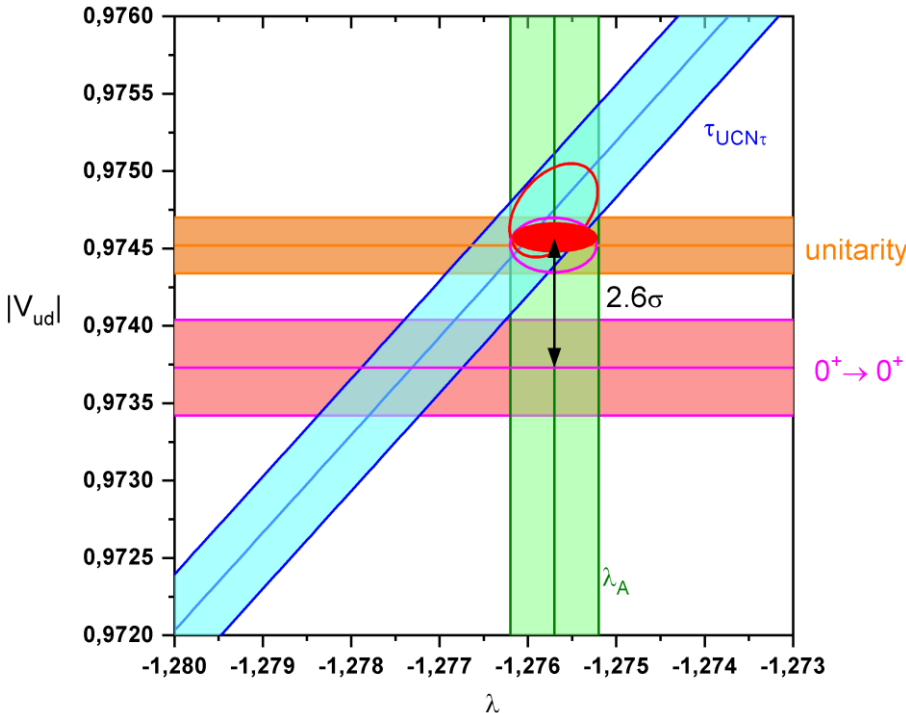
$$dW(\mathbf{p}_e, \mathbf{p}_\nu) = \Gamma(E) \left[1 + b \frac{m_e}{E_e} + a \frac{c\mathbf{p}_e}{E_e} \cdot \frac{c\mathbf{p}_\nu}{E_\nu} + A\mathbf{P} \cdot \frac{c\mathbf{p}_e}{E_e} + B\mathbf{P} \cdot \frac{c\mathbf{p}_\nu}{E_\nu} \right] d\Omega_e d\Omega_\nu dE,$$



VALUE	DOCUMENT ID	TECN	COMMENT
-0.11958 ± 0.00021 OUR AVERAGE	Error includes scale factor of 1.2. See the ideogram below.		
$-0.11985 \pm 0.00017 \pm 0.00012$	¹ MAERKISCH	19	SPEC pulsed cold n , polarized
$-0.12015 \pm 0.00034 \pm 0.00063$	² BROWN	18	UCNA Ultracold n , polarized
$-0.11926 \pm 0.00031 \pm 0.00036$	³ MUND	13	SPEC Cold n , polarized
$-0.1160 \pm 0.0009 \pm 0.0012$	LIAUD	97	TPC Cold n , polarized
-0.1135 ± 0.0014	⁴ YEROZLIM...	97	CNTR Cold n , polarized
-0.1146 ± 0.0019	BOPP	86	SPEC Cold n , polarized

VALUE	DOCUMENT ID	TECN	COMMENT
0.9807 ± 0.0030 OUR AVERAGE			
$0.9802 \pm 0.0034 \pm 0.0036$	SCHUMANN	07	CNTR Cold n , polarized
$0.967 \pm 0.006 \pm 0.010$	KREUZ	05	CNTR Cold n , polarized
0.9801 ± 0.0046	SERE BROV	98	CNTR Cold n , polarized
0.9894 ± 0.0083	KUZNETSOV	95	CNTR Cold n , polarized
1.00 ± 0.05	CHRISTENSEN	70	CNTR Cold n , polarized
0.995 ± 0.034	EROZOLIM...	70C	CNTR Cold n , polarized

Motivation



$$A = -\frac{2\lambda(\lambda + 1)}{(1 + 3\lambda^2)}$$

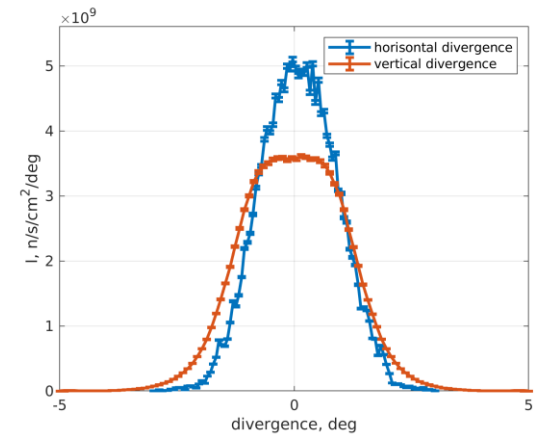
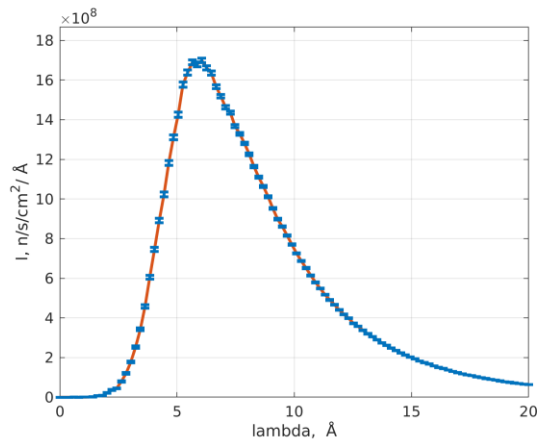
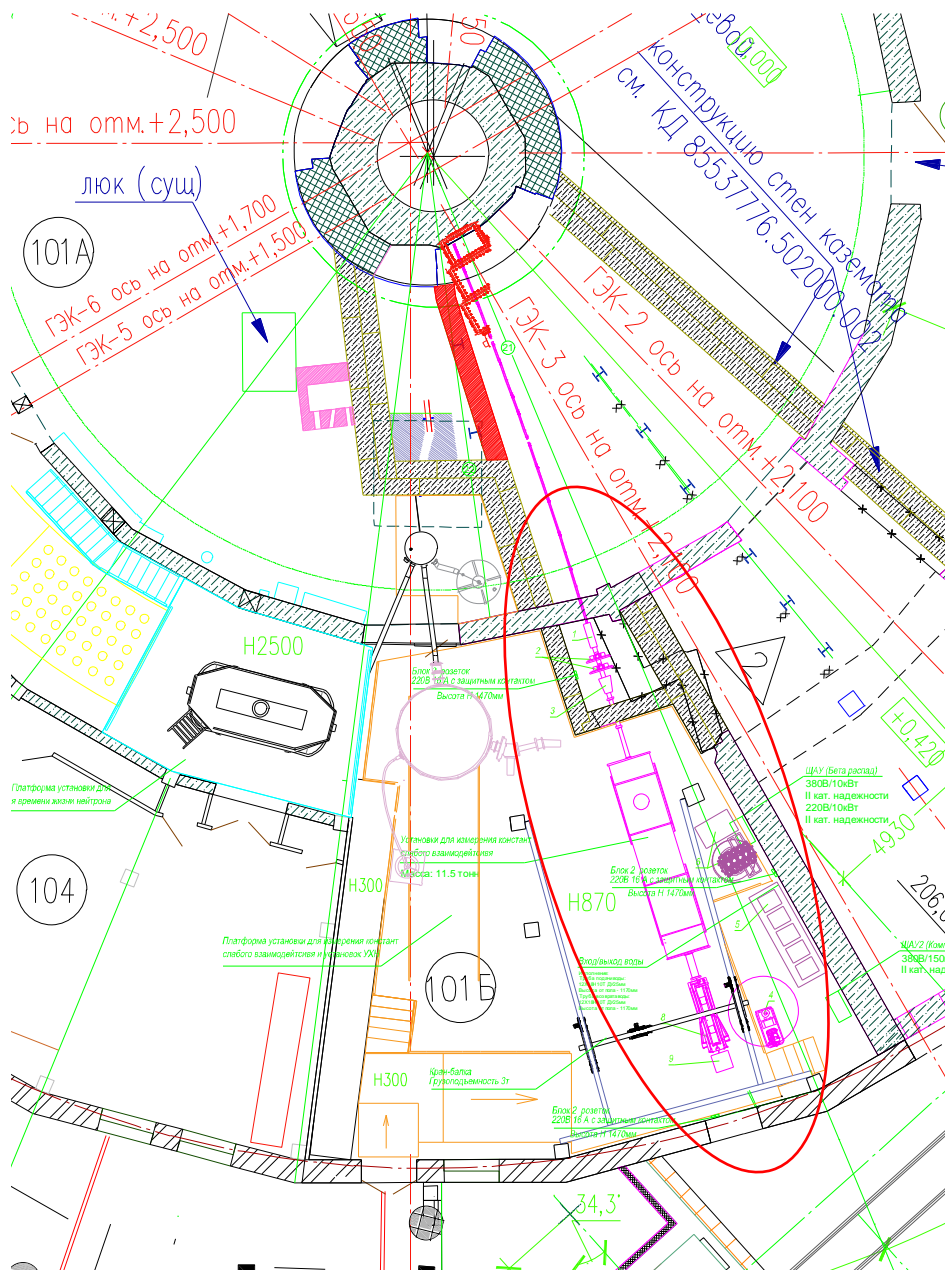
$$B = \frac{2\lambda(\lambda - 1)}{(1 + 3\lambda^2)}$$

$$\lambda = g_A/g_V$$

$$\lambda = \frac{A - B}{A + B}$$

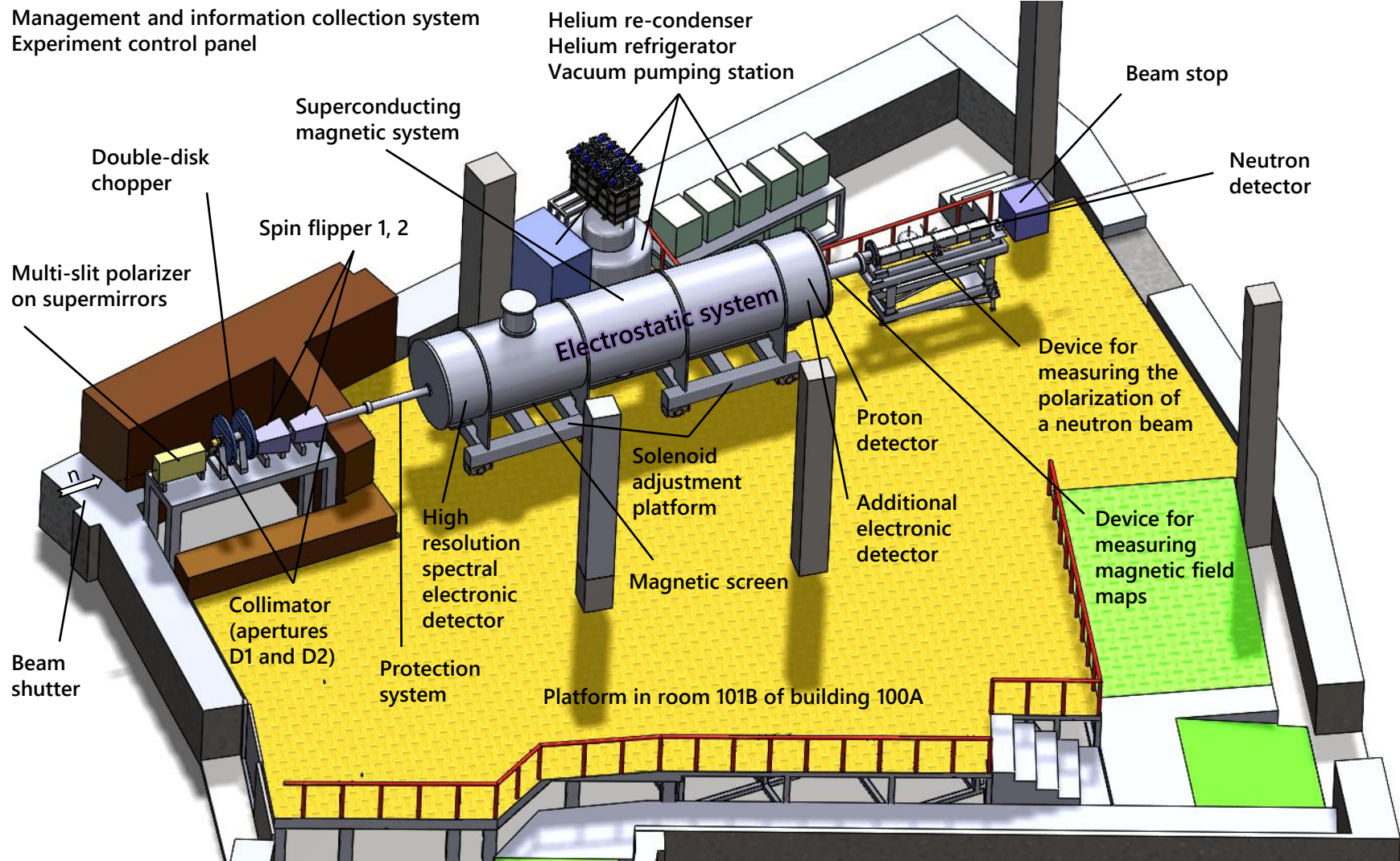
Measurement of correlation coefficients of neutron beta decay A and B with an accuracy of 0.1%

Installation at the reactor PIK

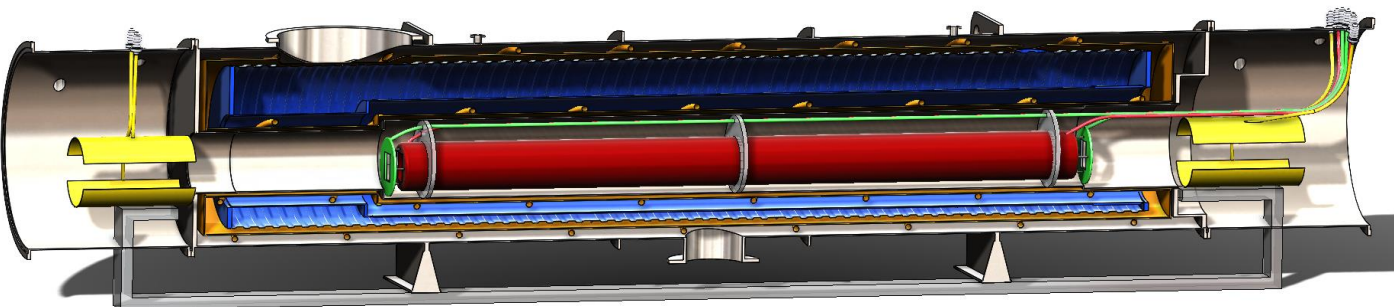
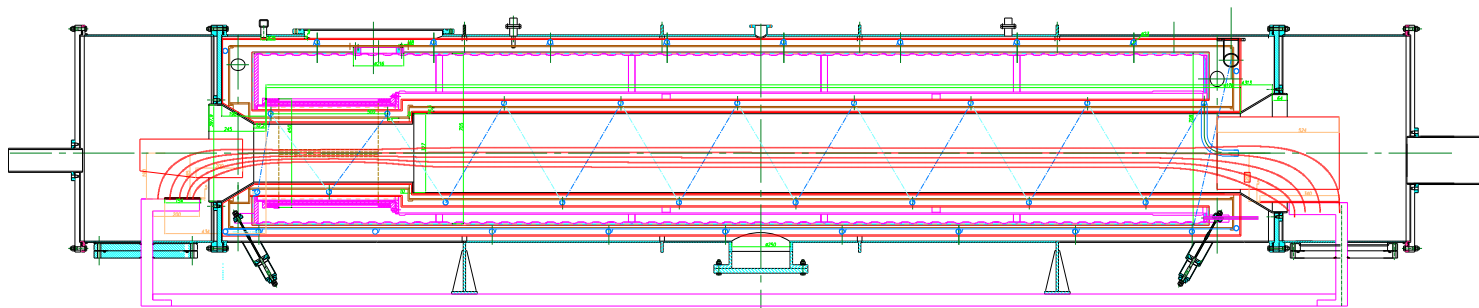


Neutron guide GEK-3 N0

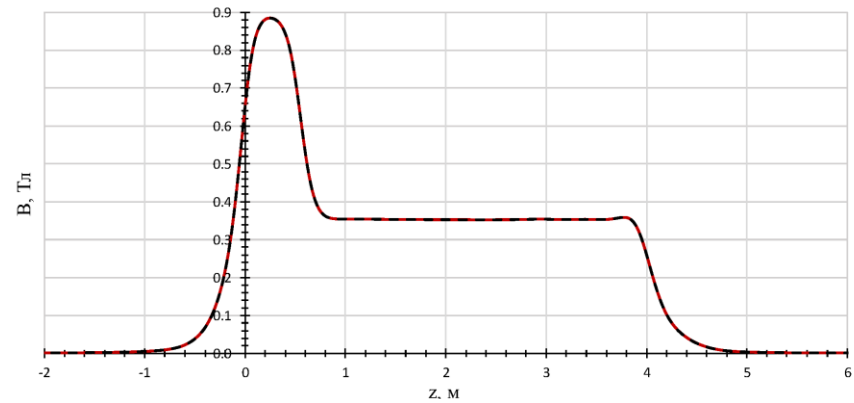
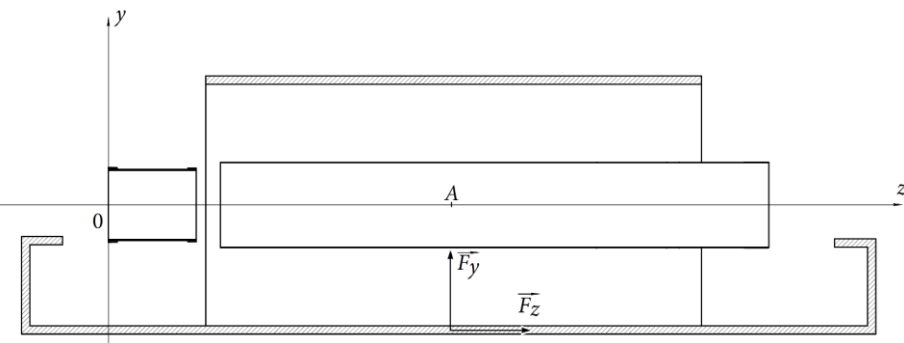
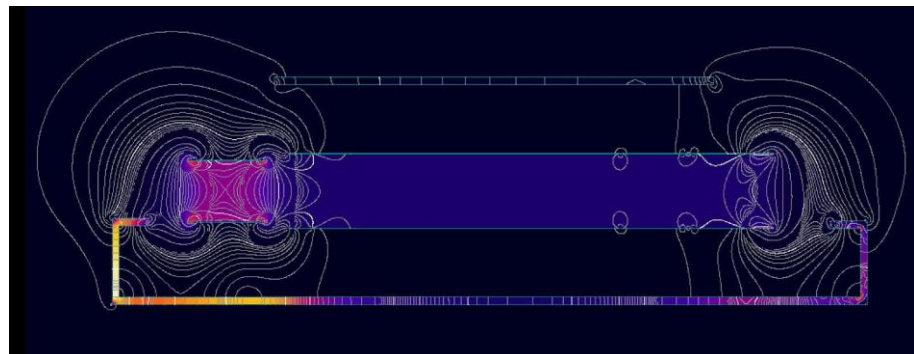
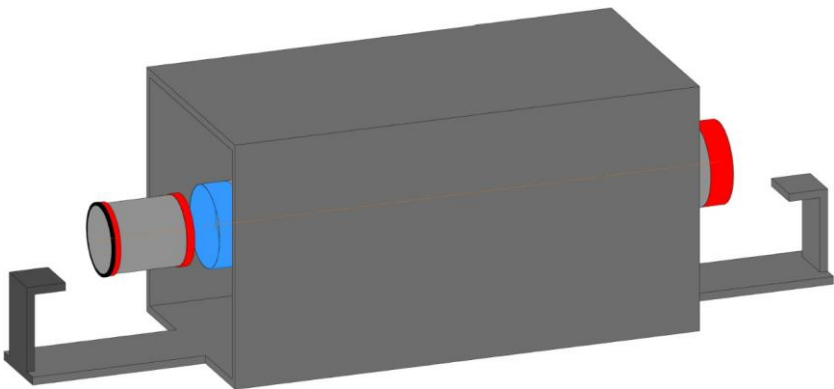
Setup composition



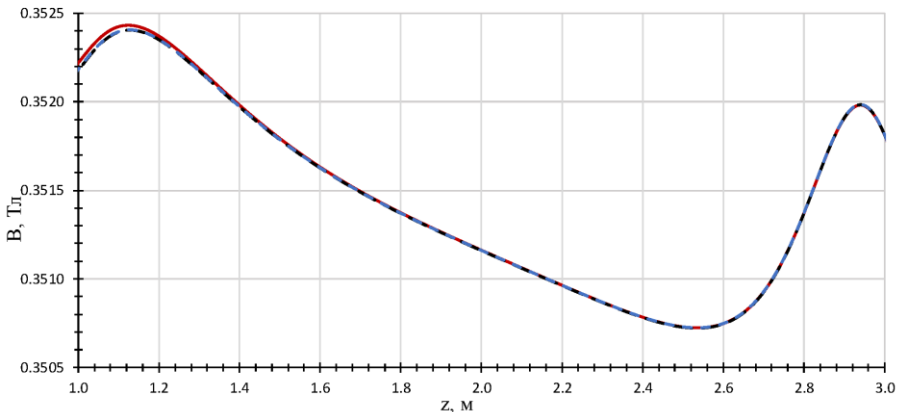
Superconducting magnetic system



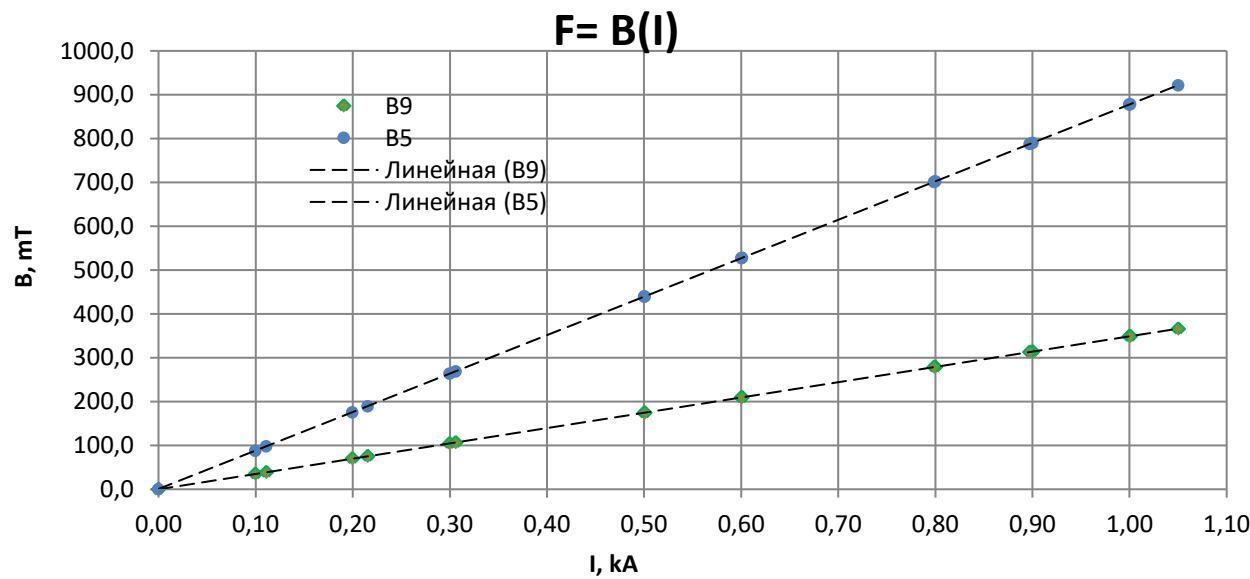
Superconducting magnetic system



	F_y , H	F_z , H	M_x , H·m
расчет KOMPOT	987	911	1340
расчет KOMPOT & KLONDIKE	987	921	1340
расчет COMSOL	1069	988	1467

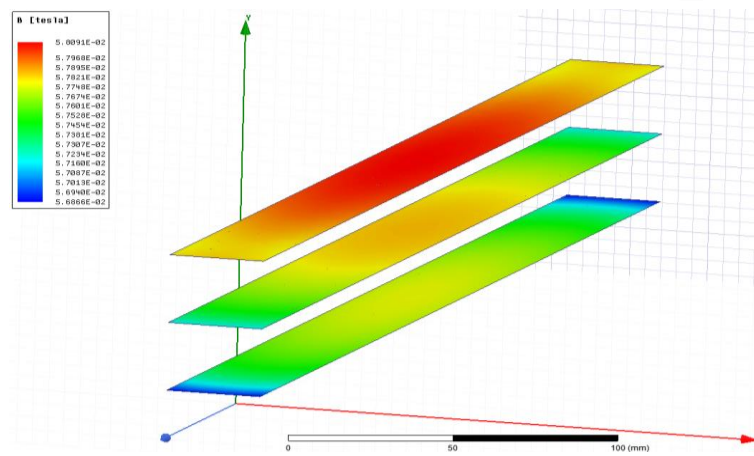
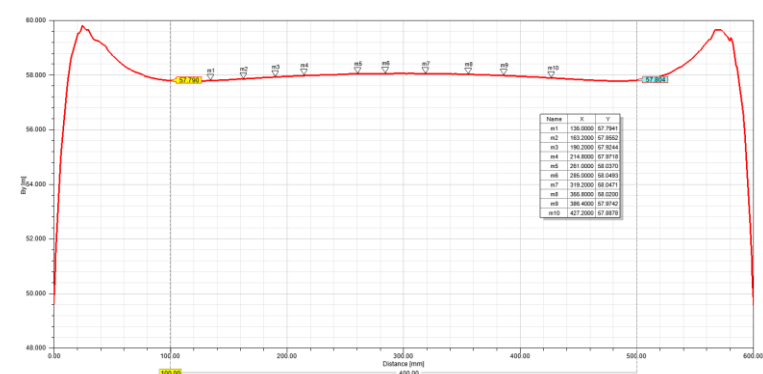
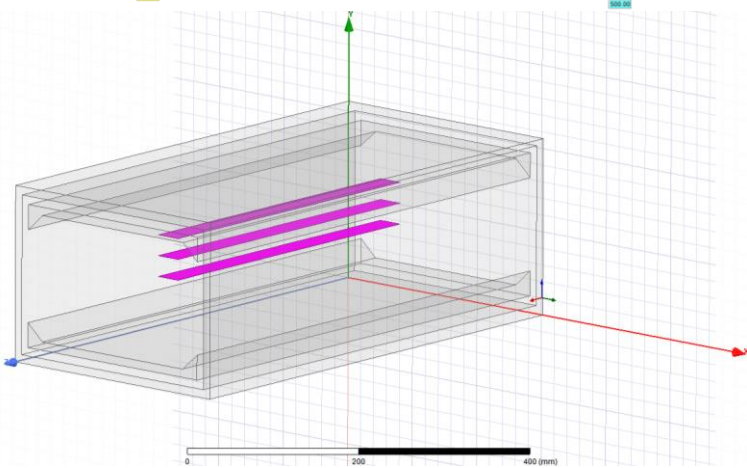
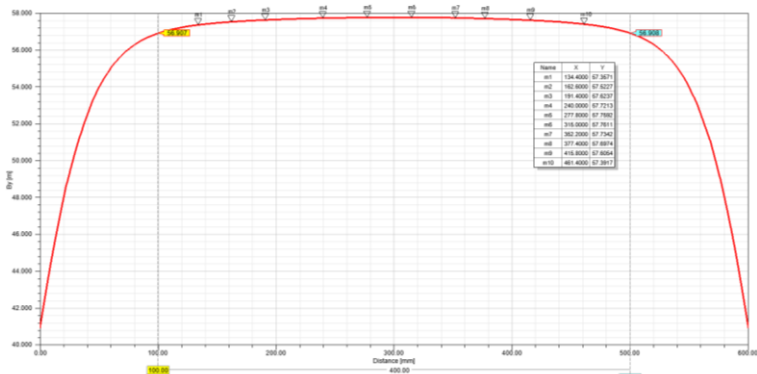
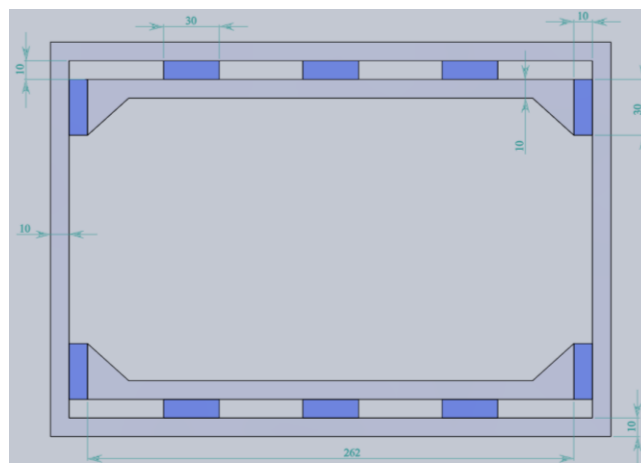
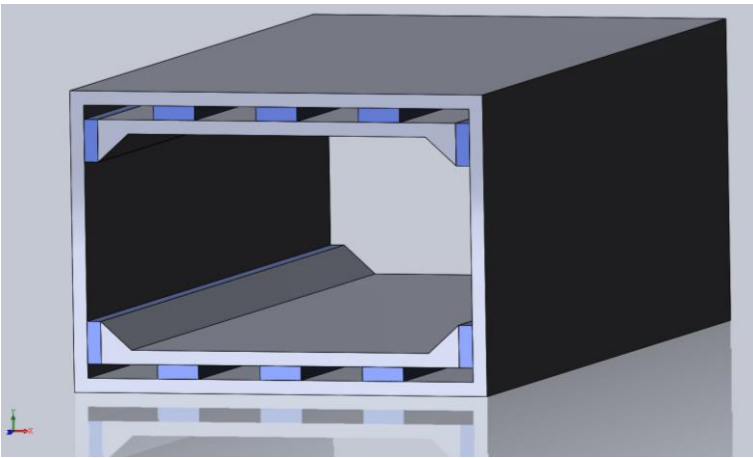


Test at JSC "NIIIEFA" 31.05.2024

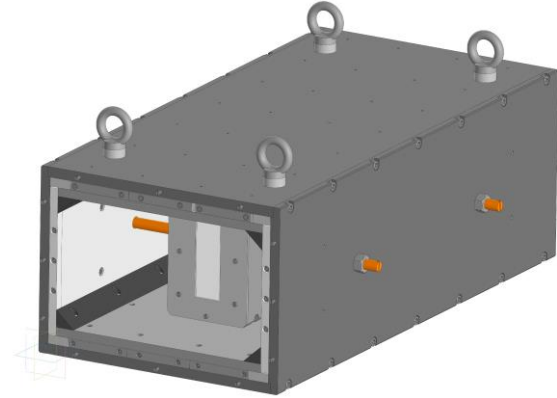
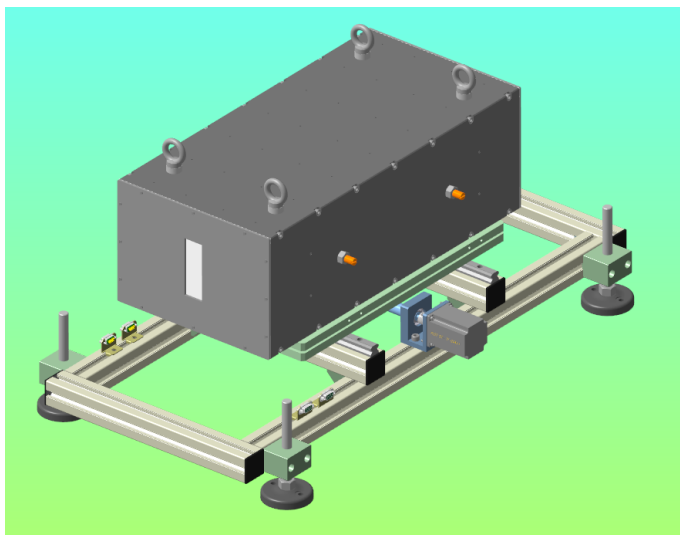
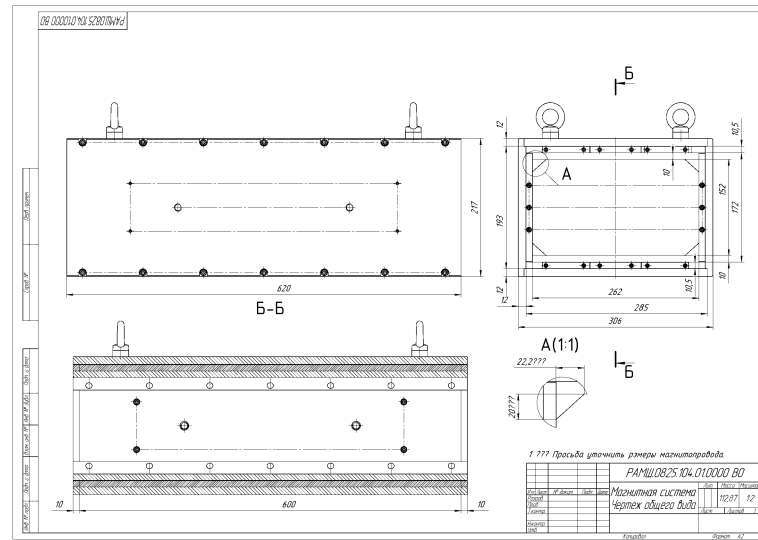
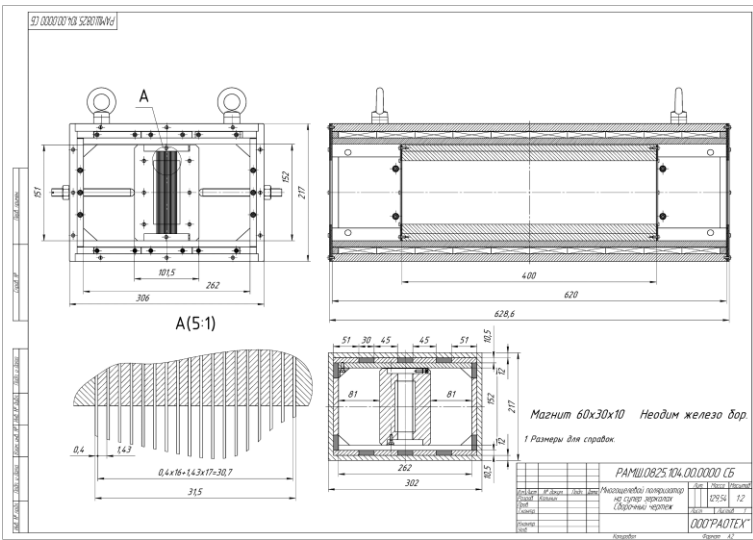


A current of 1050 A was introduced into the superconducting solenoid.

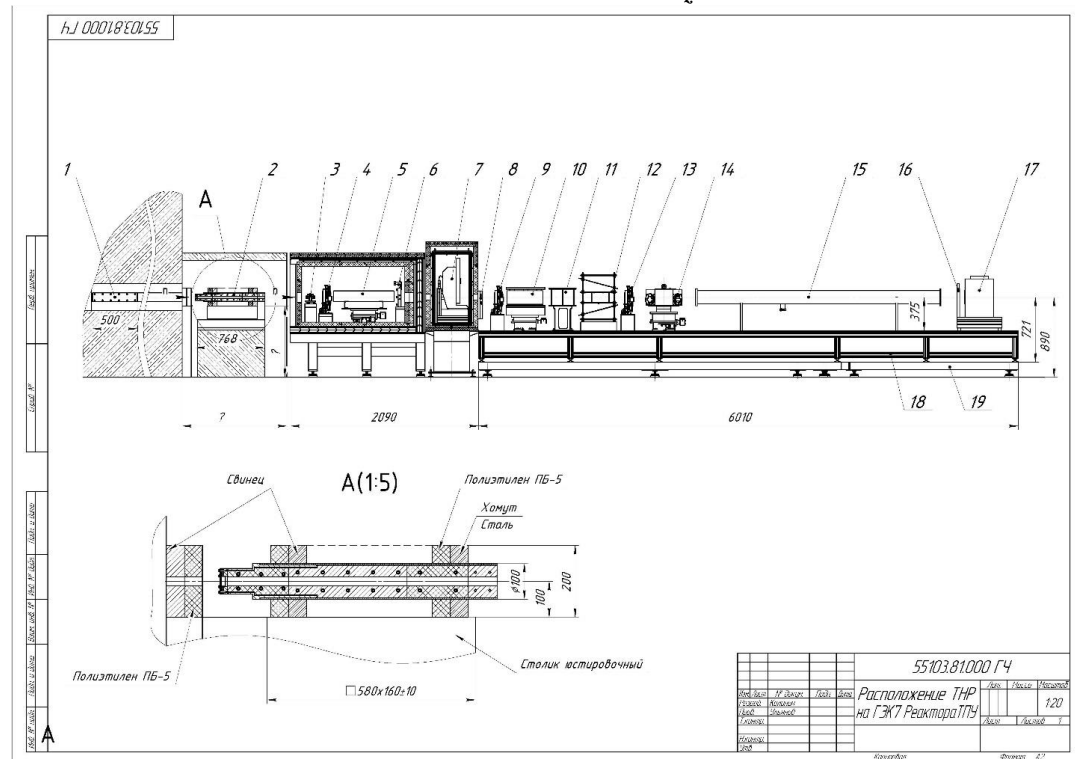
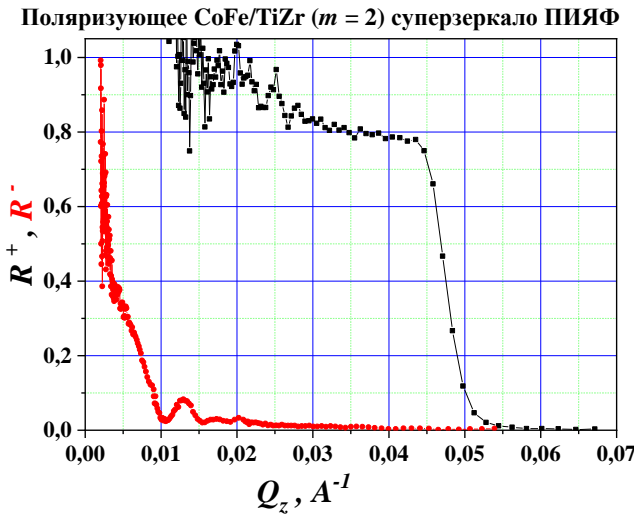
Multi-slit polarizer on supermirrors



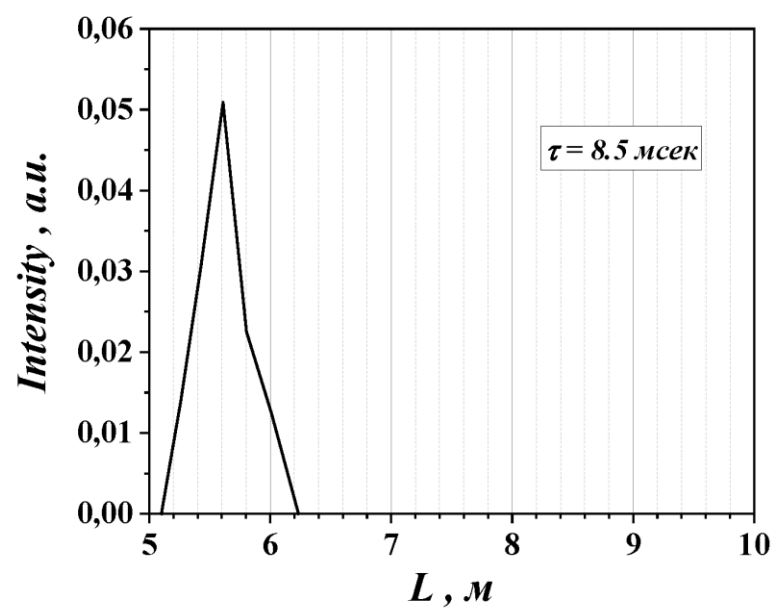
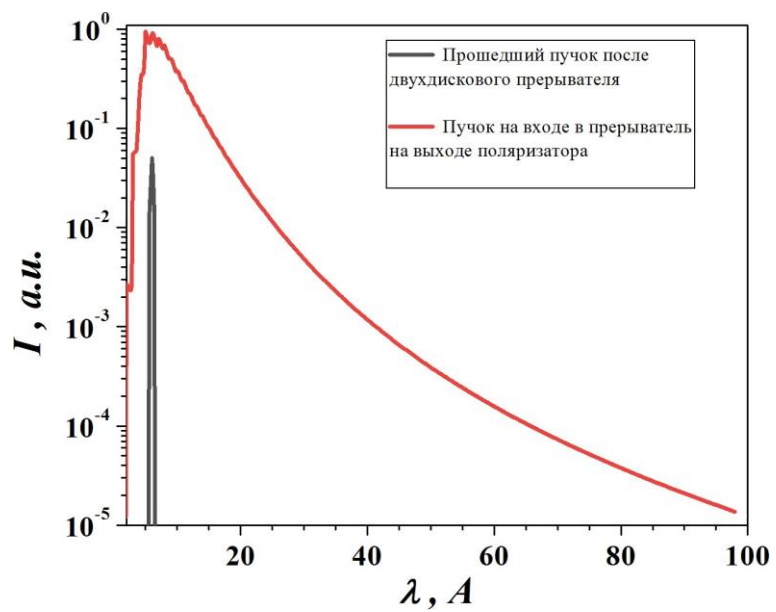
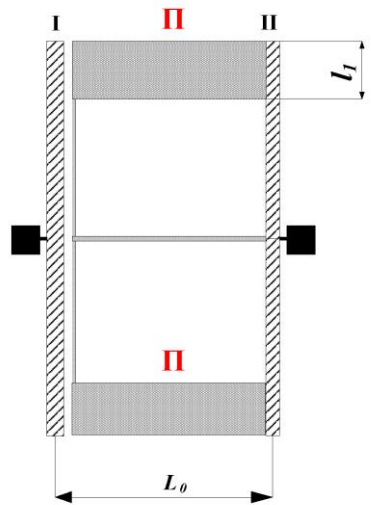
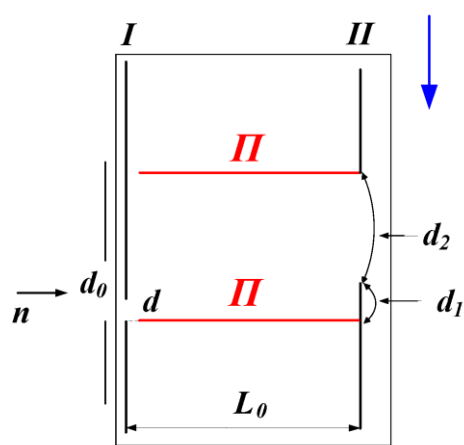
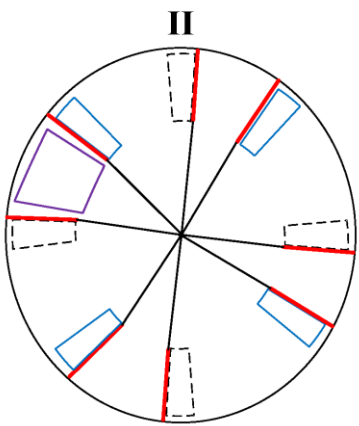
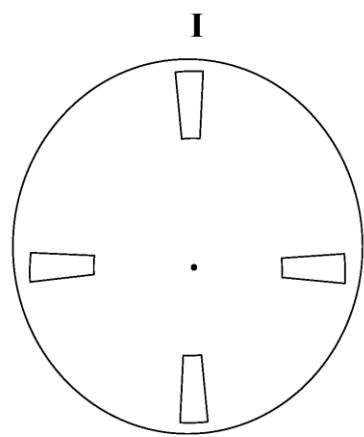
Multi-slit polarizer on supermirrors



Coating of supermirrors

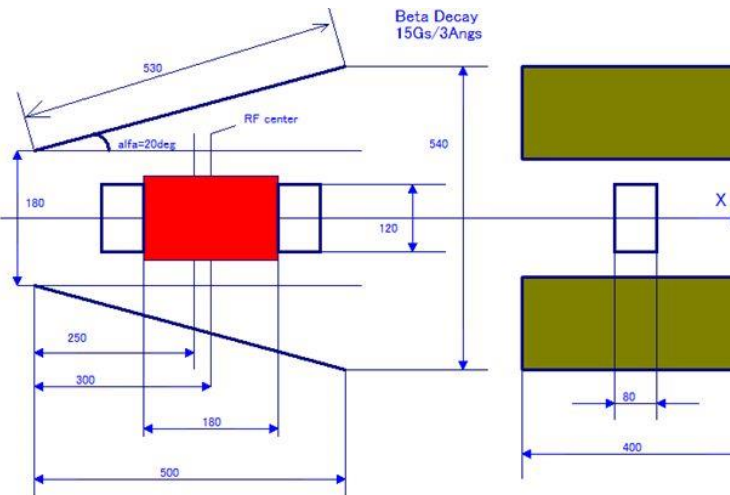
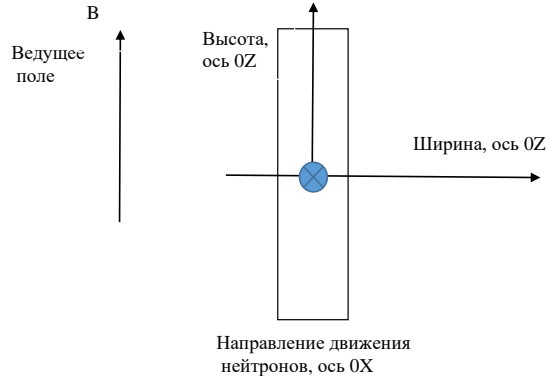


Double-disk chopper

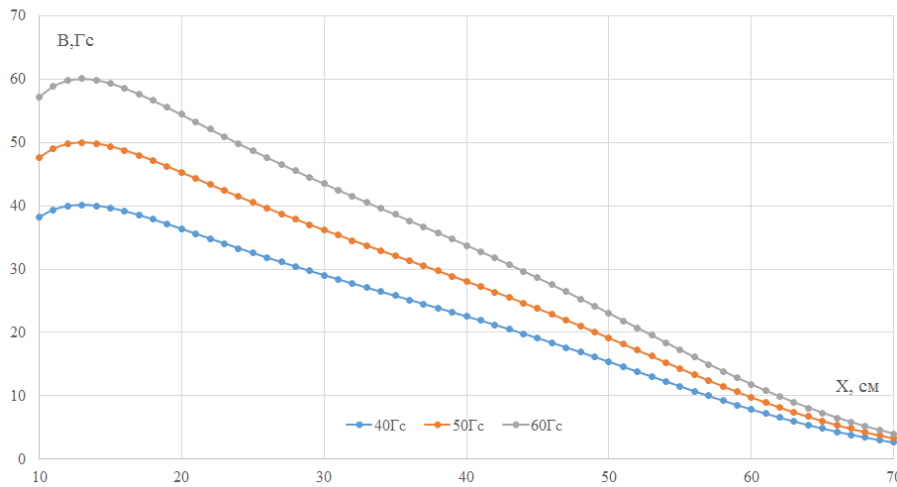


Radiofrequency spin flipper

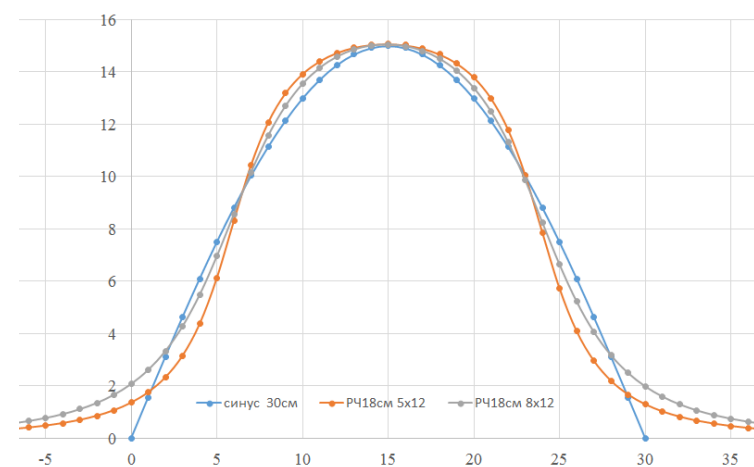
РЧ катушка флиппер 1
 $\lambda_{min}=2 \text{ \AA}$
 сечение пучка 30мм x 100мм
 сечение катушки 50x120мм² (80x120мм²)



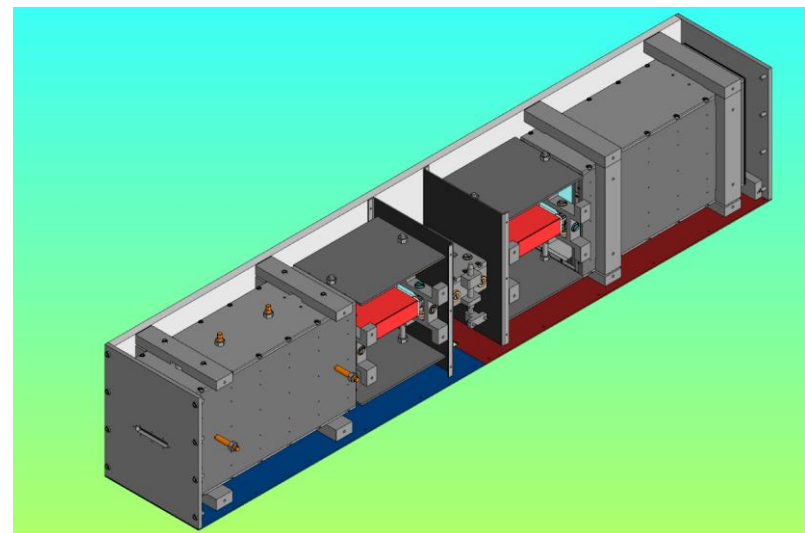
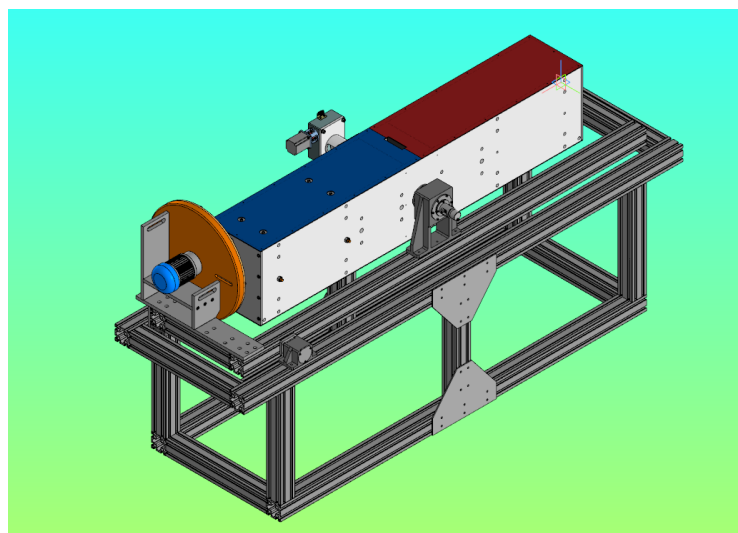
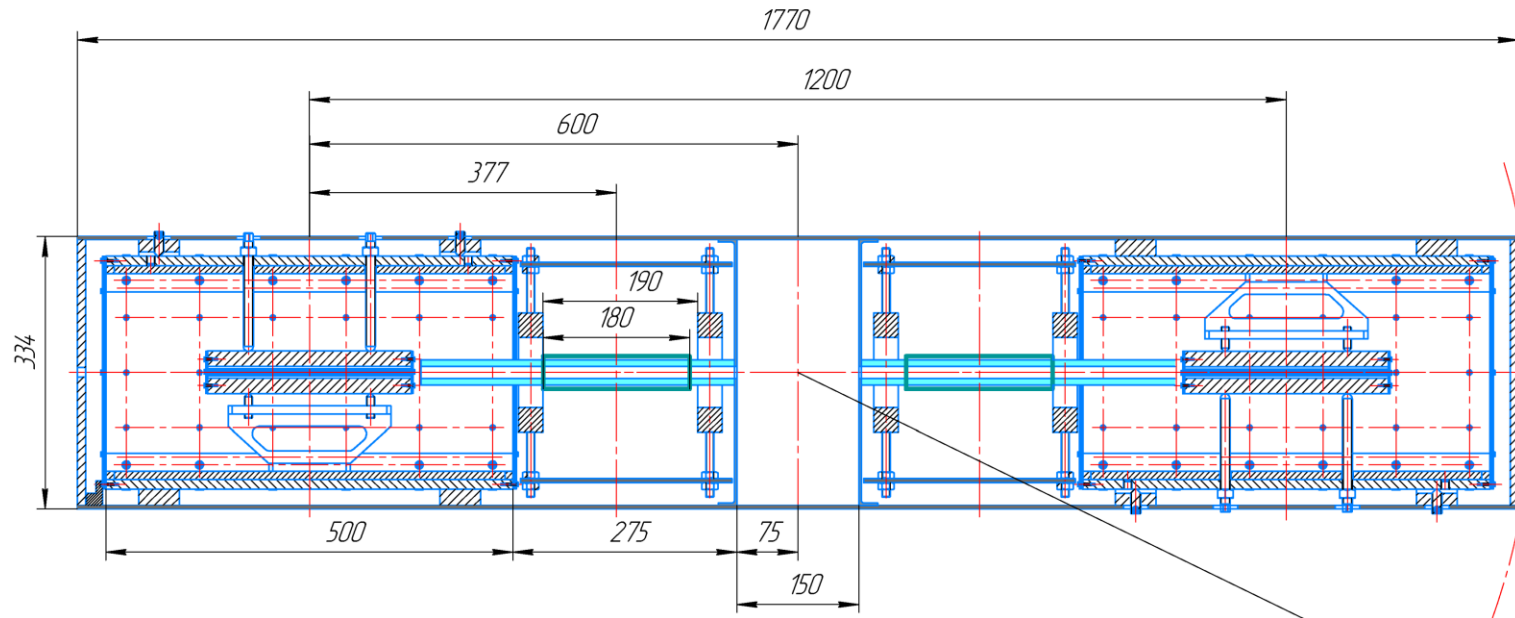
Градиентные пластины 530x400 ,40Гс/16.7, 50Гс/20.8А, 60Гс/25.0А.
 $2b=180\text{мм}$, 20 град. Край пластин - 5см от начала координат



Синус 30см и РЧ катушка 5x12см и 8x12см длиной 18см (шаг расчета 1см). Расстояние от синуса до 1Гс РЧ катушки 4см, т.е. общая необходимая длина области переворота $30+2\times 4=38\text{см}$, а для пластина 530x400 длина градиентного поля 44см.

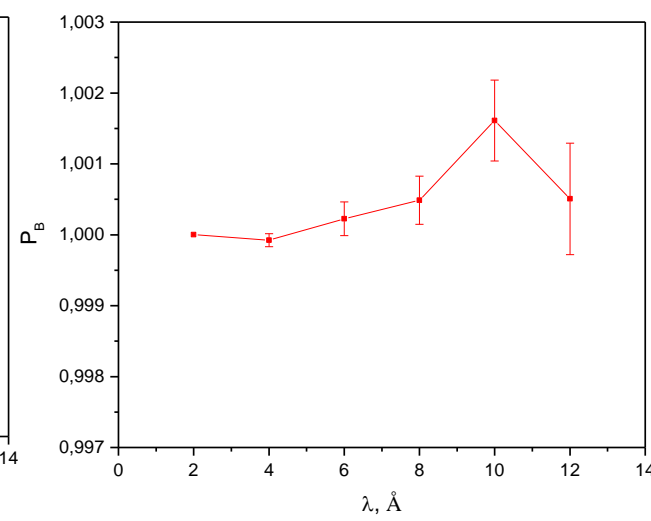
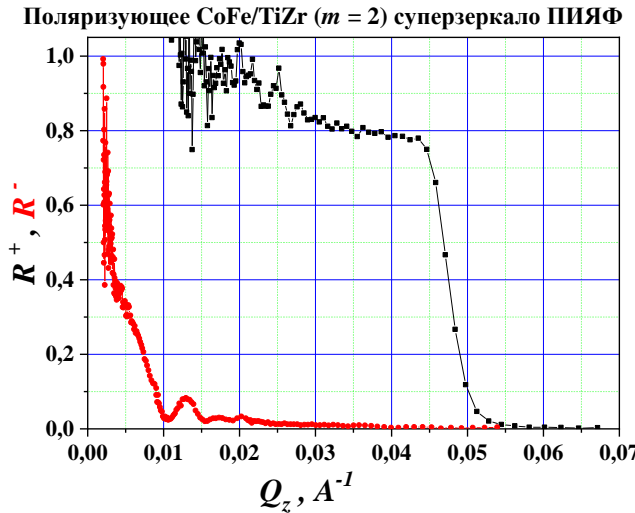
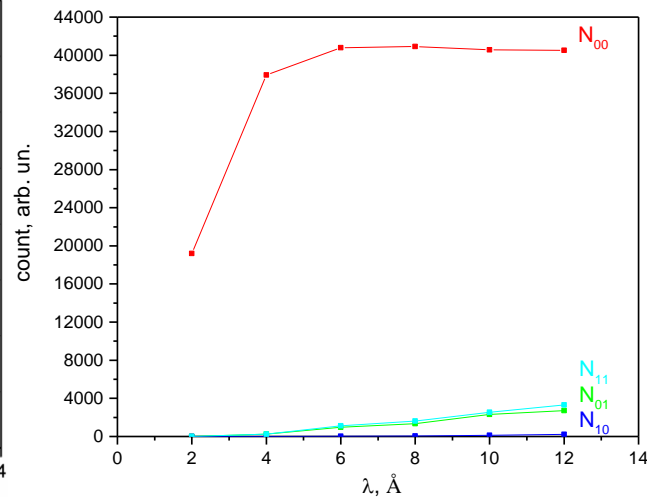
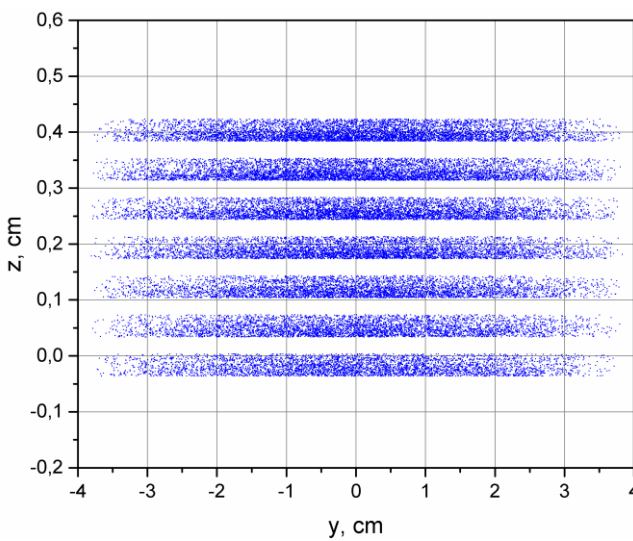
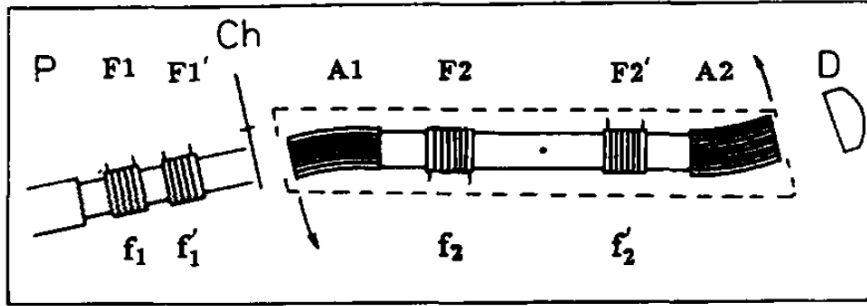


Device for measuring beam polarization

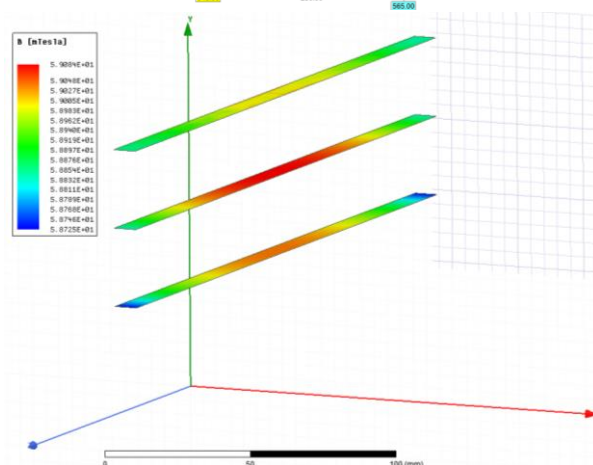
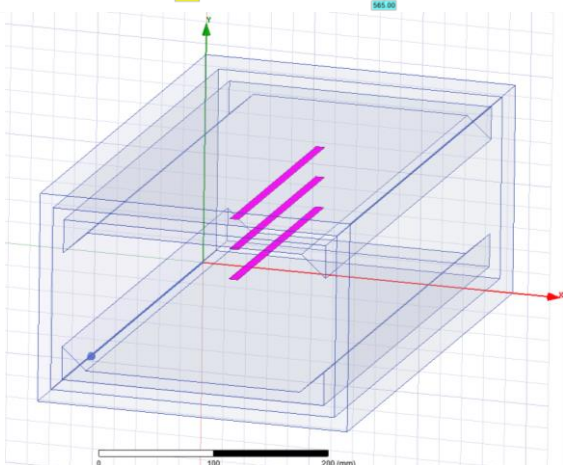
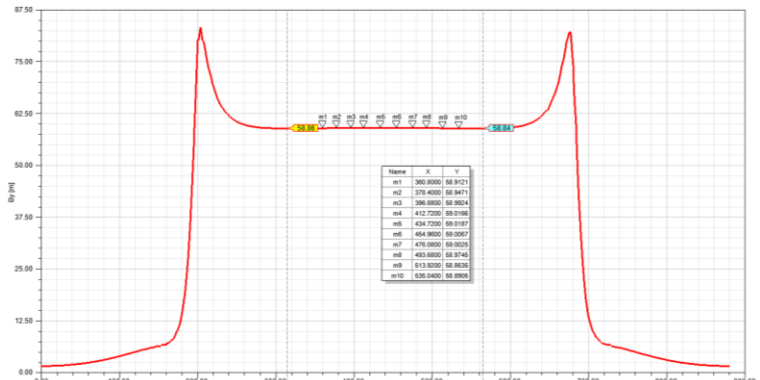
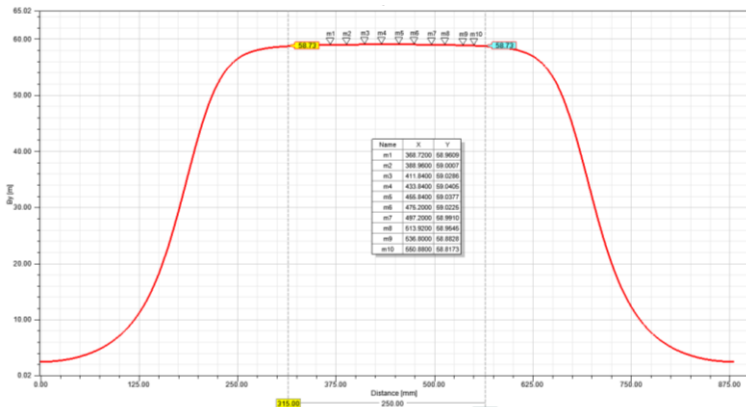
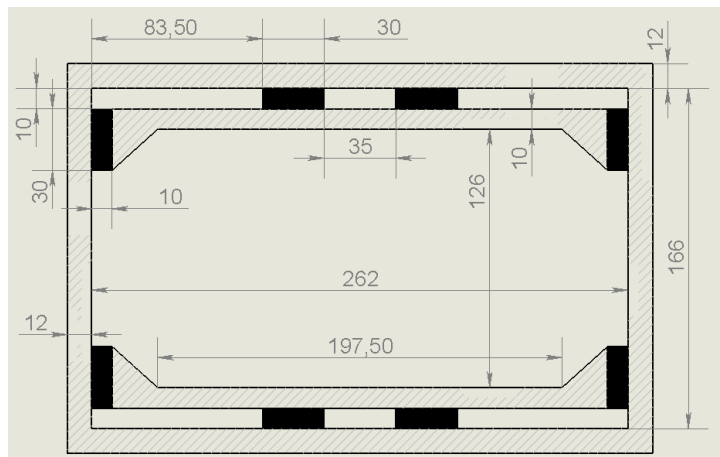
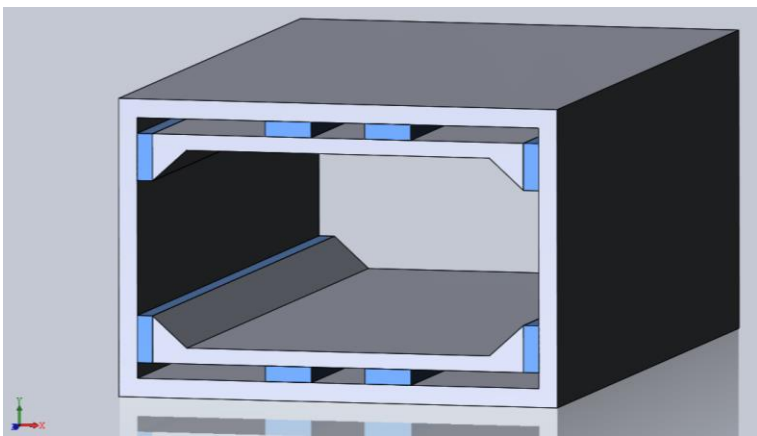


Device for measuring beam polarization

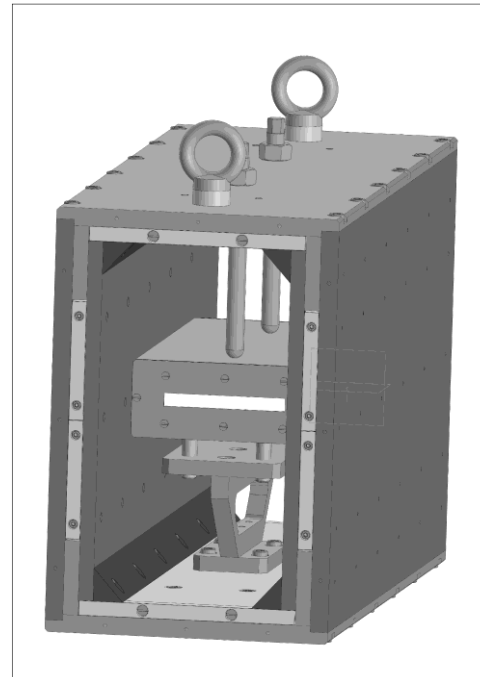
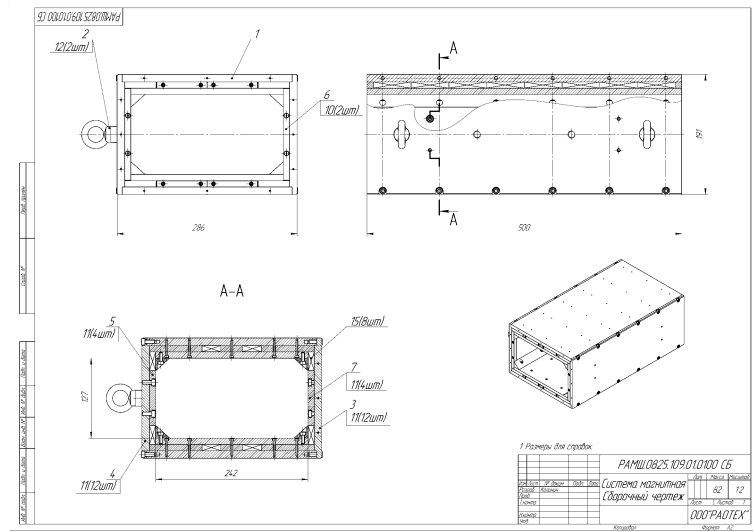
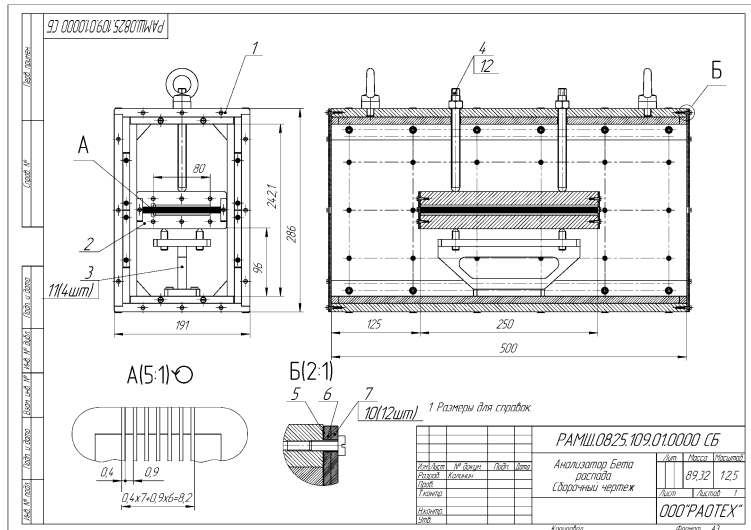
Monte Carlo simulation



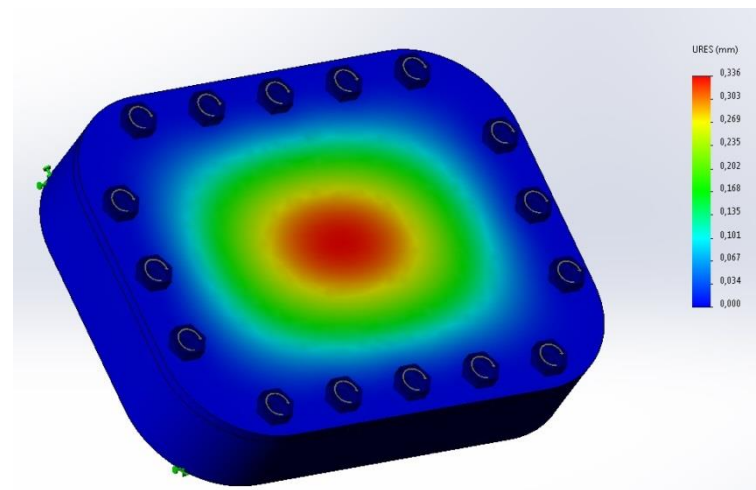
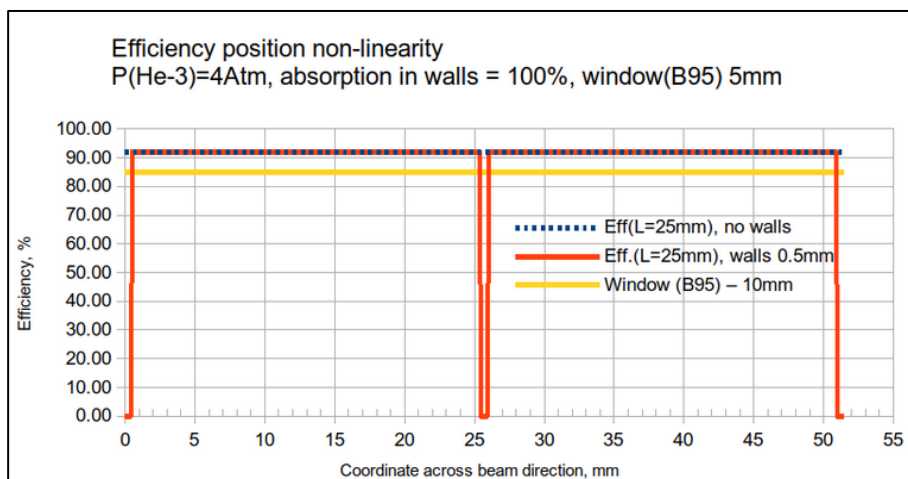
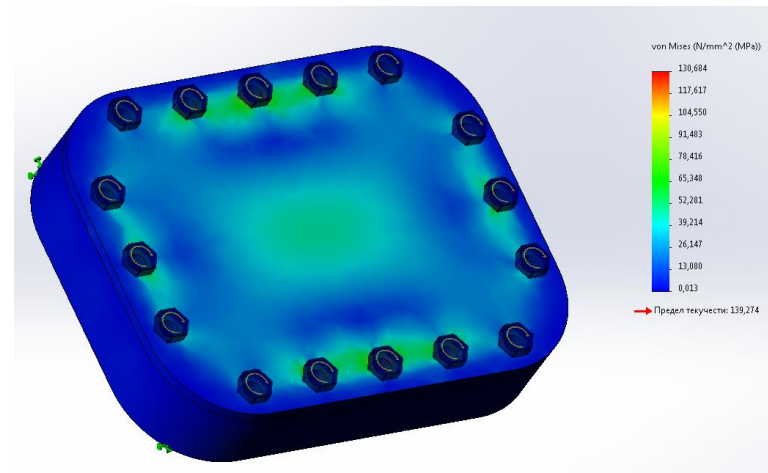
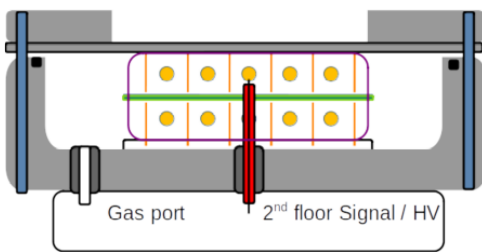
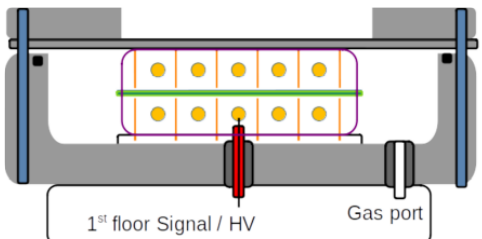
Analyzers



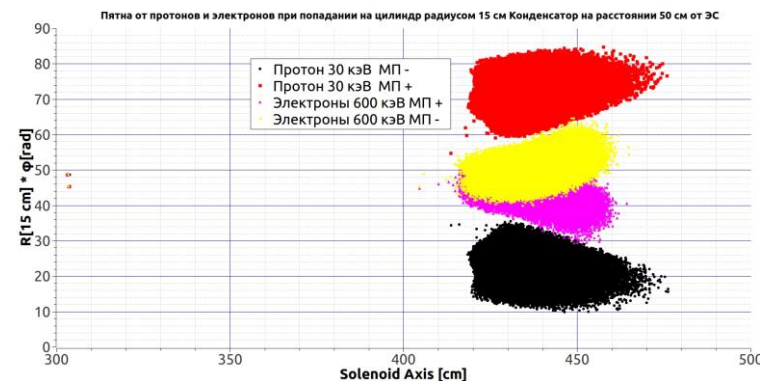
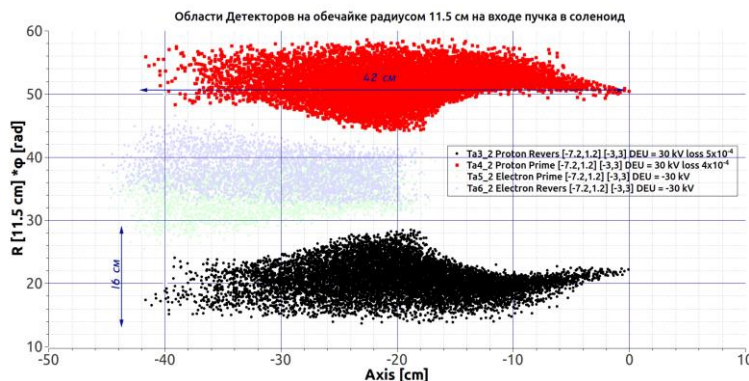
Analyzers



Neutron detector



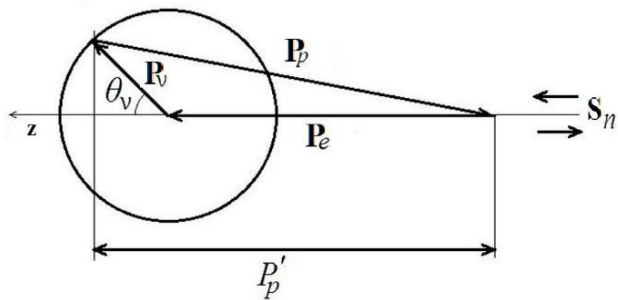
Charged particle detectors



Вход	Размеры пятна		Размеры пластины детектора			Количество пластин в установке, шт	Запасные пластины, шт	Всего пластин, шт
	Длина, мм	Ширина, мм	Длина, мм	Ширина, мм	Толщина, мм			
Электрон	200	230	240	270	4÷5	1	1	2
Протон	420	160	460	200	4÷5	2	1	3

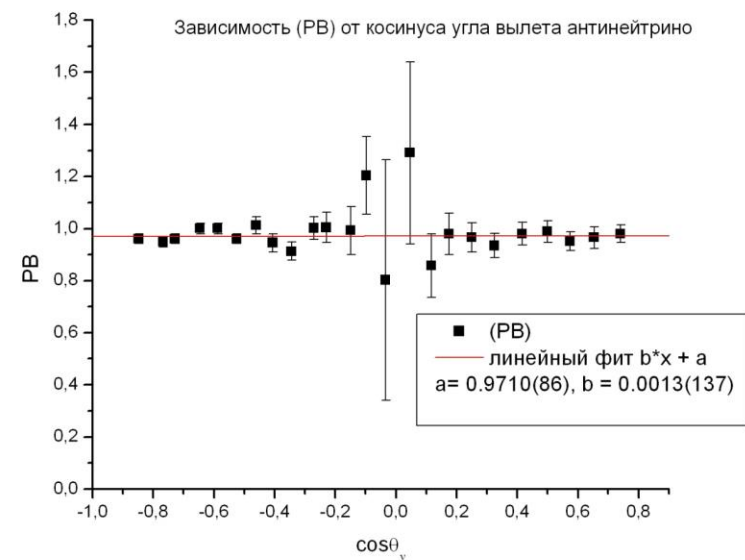
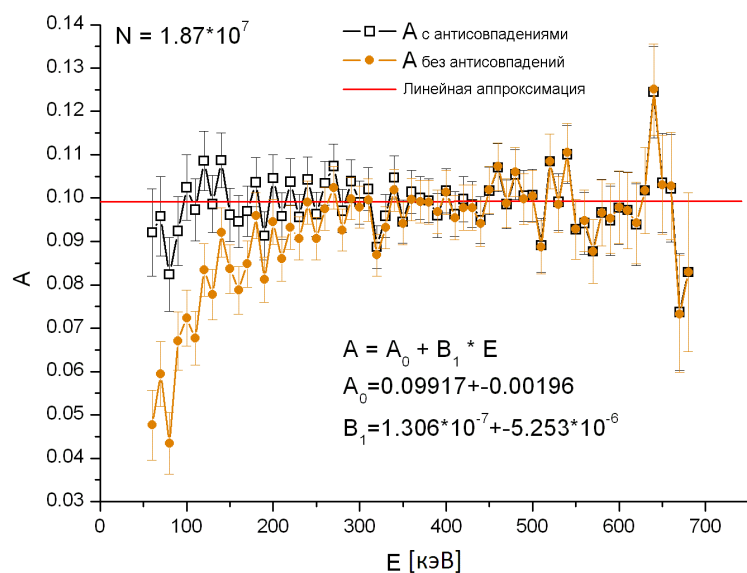
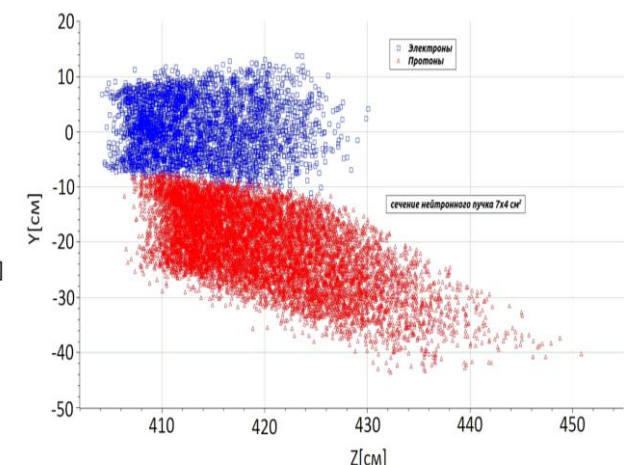
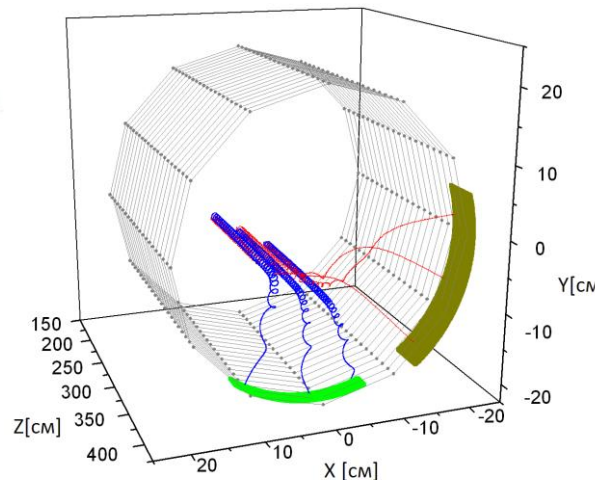
Выход	Размеры пятна		Размеры пластины детектора			Количество пластин в установке, шт	Запасные пластины, шт	Всего пластин, шт
	Длина, мм	Ширина, мм	Длина, мм	Ширина, мм	Толщина, мм			
Электрон	500	380	540	420	4÷5	1	1	2
Протон	600	280	640	320	4÷5	2	1	3

Mathematical modeling

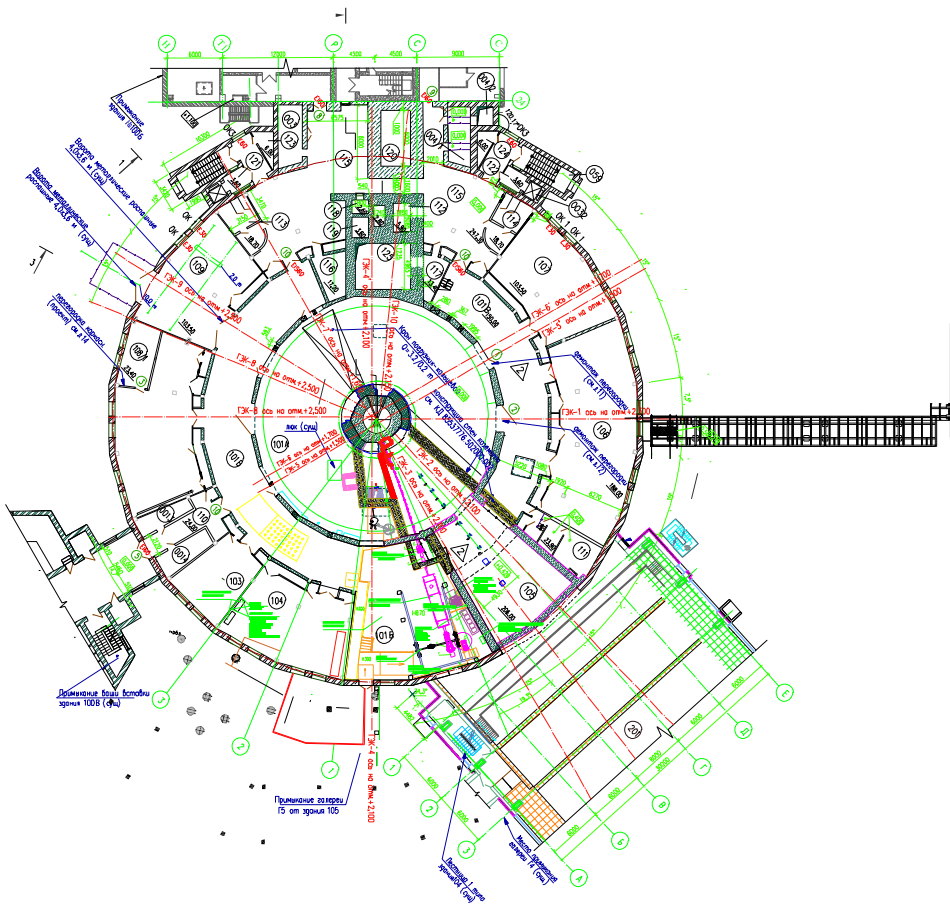


$$\lambda = \frac{A - B}{A + B}$$

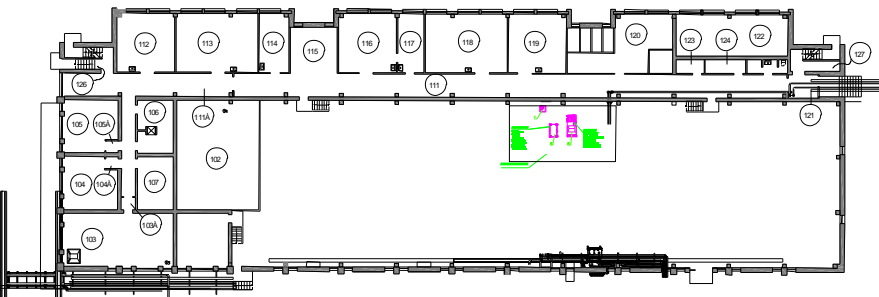
$$A = -\frac{2\lambda(\lambda + 1)}{(1 + 3\lambda^2)} \quad B = \frac{2\lambda(\lambda - 1)}{(1 + 3\lambda^2)}$$



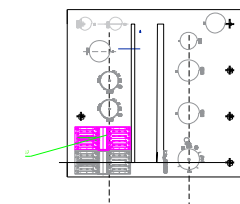
Construction plan



Задание 100Е
План на отм. -4,800

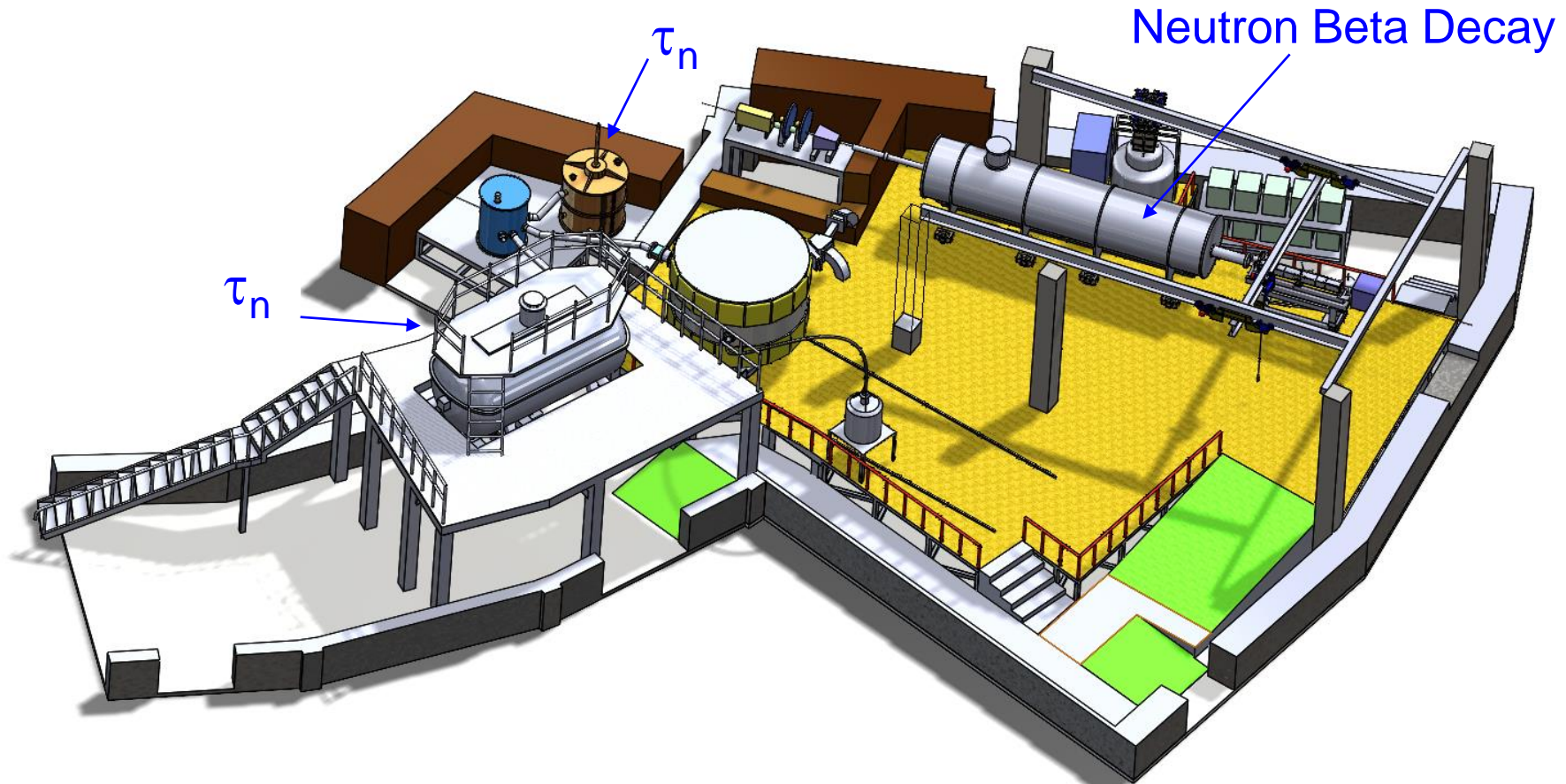


Задание 100Е/3



	A	B	C	D	E	F	G
1	Генерация 8 антигенных иммунных клеточных генотипов						
2	и	Помощь	Контроль				Ошибки
3	101	Помощь	Контроль	Несоответствие расположения ядерного обозначения бактерии и расположения ядерного обозначения ПФ			
4	101	Контроль	Помощь	Несоответствие ядерного адреса при переносе информации о расположении ядерного обозначения ПФ			
5	101	Помощь	Помощь	Несоответствие расположения ядерного обозначения ПФ и расположения ядерного обозначения ПФ			
6	101	Помощь	Контроль	Дважды одна же ячейка в таблице			
7	101	Контроль	Помощь	Несоответствие расположения ядерного обозначения ПФ и расположения ядерного обозначения ПФ			

The "Neutron Beta Decay" installation for the reactor PIK



Measurement of correlation coefficients of neutron beta decay A and B with an accuracy of 0.1%